

# Exposé

## Théorème de Poncelet

Bence Béky  
dirigé par Frank Loray

8 janvier 2009

### Résumé

On rappelle d'abord quelques concepts nécessaires pour nos investigations. Ensuite, on étudie les trajectoires de billiard dans une ellipse et prouve qu'ils consistent aux tangentes d'une conique homofocale. Enfin, on démontre le théorème de Poncelet sur ces tangentes.

## 1 Plans projectifs

**Définition 1.** Soit  $n \geq 2$  un entier. Considérons la relation binaire  $\sim$  sur  $\mathbb{R}^n \setminus \{0\}$  :

$$\forall a, b \in \mathbb{R}^n \setminus \{0\} : a \sim b \iff \exists \lambda \in \mathbb{R} : \lambda a = b.$$

$\lambda$  ne va jamais être zéro. Alors  $\sim$  est réflexive (avec  $\lambda = 1$ ), symétrique (si  $\lambda a = b$ , alors  $\frac{1}{\lambda}b = a$ ) et transitive ( $\lambda a = b, \nu b = c \implies \lambda\nu a = c$ ). Il s'agit donc d'une relation d'équivalence.

Le plan projectif réel  $\mathbb{RP}^{n-1}$  est défini comme l'ensemble quotient

$$\mathbb{RP}^{n-1} := (\mathbb{R}^n \setminus \{0\}) / \sim.$$

Soit  $(x_1, x_2, \dots, x_n) \in \mathbb{R}^n \setminus \{0\}$ . Sa classe d'équivalence dans  $\mathbb{RP}^{n-1}$  sera notée par  $[x_1 : x_2 : \dots : x_n]$ .

Le plan projectif a la topologie quotient provenant de celle de l'espace vectoriel  $\mathbb{R}^n$ . Par contre, il est facile de voir que sa structure de groupe n'est pas compatible avec la relation  $\sim$  : la somme des représentants des classes d'équivalence dépend sur le choix des représentants. Néanmoins on peut considérer les sous-espaces vectoriels de  $\mathbb{R}^n$  : chaque classe d'équivalence est entièrement contenue dans un telle sous-espace ou ils sont disjoints. Les images des sous-espaces de dimension  $k$  par la surjection canonique seront les sous-espaces de dimension  $k - 1$  du plan projectif : des droites projectives, des sous-plans projectifs etc.

Considérons le plan euclidien. Le parallélisme des droites est une relation d'équivalence. Identifions un point *idéal* à chaque classe d'équivalence et disons que chaque droite contient le point idéal appartenant à sa classe d'équivalence en plus de ses points habituels, appelent points finis. Ce point idéal peut être imaginé comme un point qui se trouve à l'infini à la direction dirigée par les droites – en fait, aux deux directions opposées à la même fois.

Disons aussi que les points idéals forment une droite idéale. Pour la structure des points finis et idéals avec des droites habituelles et idéale, on a que chaque deux droites s'entrecroisent à un point unique : deux droites habituelles peuvent s'entrecroiser à un point fini ou être parallèle, en ce cas elles se rencontrent au

point idéal appartenant à leur classe. Une droite habituelle et la droite idéale s'entrecroisent au point idéal qui appartient à la droite habituelle.

Aussi, pour chaque deux points il y a une droite unique qui les contient : deux points finis peuvent être connectés par une droite habituelle. Un point fini et un point idéal sont contenus par la droite sur le point fini dans la classe d'équivalence qui appartient au point idéal. Deux points idéals sont contenus par la droite idéale.

Cette extension du plan euclidien est donc isomorphe à  $\mathbb{RP}^2$ .

Il y a un autre représentation de  $\mathbb{RP}^2$  : choisissons les deux représentant avec module 1 de chaque classe d'équivalence de  $\mathbb{R}^3 \setminus \{0\}$  pour obtenir la surface d'une sphère. Les points qui se trouvent aux deux terminaisons d'un diamètre sont identifiés et correspondent au même point sur le plan projectif. Les droites sont représentées par les grands cercles. Voilà on peut voir que en fait il n'y a pas de différence entre les points finis et idéals, entre des droites finies et idéale. En ce sens,  $\mathbb{RP}^2$  est isotrope. Un projection du centre de la sphère sur un plan qui ne le contient pas nous donne une bijection entre les deux représentations. Le grand cercle parallèle au plan correspond à la droite idéale.

**Définition 2.** *Le plan projectif complexe  $\mathbb{CP}^{n-1}$  est défini de la même façon, comme l'ensemble quotient de  $\mathbb{C}^n \setminus \{0\}$  par la relation d'équivalence  $\sim$  étendue sur les complexes :*

$$\forall a, b \in \mathbb{C}^n \setminus \{0\} : a \sim b \iff \exists \lambda \in \mathbb{C} : \lambda a = b$$

avec la topologie quotient provenant de celle de  $\mathbb{C}^n$  et les sous-espaces projectifs provenant des sous-espaces de  $\mathbb{C}^n$ .

Considérons  $\mathbb{CP}^1 = [1 : 0] \cup \{[z : 1] | z \in \mathbb{C}\}$ . On peut assigner  $[z : 1]$  à chaque point  $z$  du plan complexe et ajouter  $[1 : 0]$ , le point à l'infini. Par l'inversion

$$z \mapsto \frac{1}{\bar{z}}$$

le point à l'infini est transformé à l'origine, l'origine  $[0 : 1]$  est transformée à l'infini, les points sur le cercle unité sont conservés, et son intérieur et extérieur sont échangés. On obtient une représentation des points de  $\mathbb{CP}^1$  sauf  $[0 : 1]$  par le plan complexe. Ces deux représentations sont, en fait, des *cartes* de la sphère de Riemann.

## 2 Courbes

Comme les points projectifs sont les classes d'équivalence d'un espace vectoriel par multiplication par un scalaire, les équations des sous-ensemble sont forcément homogènes. Par exemple, sur  $\mathbb{RP}^2$ , les droites peuvent être déterminé comme

$$\{[x_1 : x_2 : x_3] : x_1 y_1 + x_2 y_2 + x_3 y_3 = 0\}$$

avec  $y_1, y_2, y_3$  fixé. Remarquons que  $\lambda y_1, \lambda y_2, \lambda y_3$  déterminent la même droite. En fait, les points et les droites forment des structures isomorphes. Échangeant "point" et "droite", "le point d'intersection de deux droites" et "la droite sur deux points" dans un théorème va donner un autre théorème. C'est appelé le principe de *dualité*.

Les courbes de degré plus haute sont définis la même façon. Par exemple, une cubique dans  $\mathbb{CP}^2$  :

$$\left\{ [x_1 : x_2 : x_3] : \sum_{\substack{i+j+k=3 \\ i,j,k \in \mathbb{N}}} a_{ijk} \cdot x_1^i x_2^j x_3^k = 0 \right\}$$

avec 10 coefficients  $a_{ijk}$ .

En fait, il y a une correspondance très importante entre les cubiques et les courbes elliptiques. Chaque cubique sur  $\mathbb{C}\mathbb{P}^2$  peut être transformé par un automorphisme de  $\mathbb{C}\mathbb{P}^2$  (une transformation de la groupe  $\text{PGL}(3, \mathbb{C})$ ) à la forme

$$E = \{[1 : x : y] \in \mathbb{P}_{\mathbb{C}}^2 \mid y^2 = (x - e_1)(x - e_2)(x - e_3)\} \cup \{[0, 0, 1]\}.$$

Aussi,  $e_1, e_2, e_3 \in \mathbb{R}$  caractérise la cubique.

### 3 Tores

Considérons un réseau  $\Lambda = a\mathbb{Z} + b\mathbb{Z}$  avec  $a, b \in \mathbb{C}$ ,  $a, b \neq 0$ ,  $\frac{a}{b} \notin \mathbb{R}$ . Alors on peut définir la relation d'équivalence

$$\forall x, y \in \mathbb{C} : x \equiv y \pmod{\Gamma} \iff (x - y) \in \Gamma$$

et étudier la structure  $T = \mathbb{C}/\Lambda$ .  $T$  est appelé un *tore* et comme l'addition des complexes est compatible avec la relation  $\equiv$ ,  $T$  hérite l'addition, un operation binaire.

On va utiliser le fait que chaque cubique est isomorphe à un tore complexe.

### 4 Billard

Considérons une bille qui rebondit dans une ellipse  $E_0$ . On s'intéresse à la question si la trajectoire est periodique. On démontre d'abord que si une corde n'intersecte pas le segment qui connecte les deux foyers, alors toute corde est tangente à la même ellipse homofocale. Dans la prochaine section on va voir que si on fixe une ellipse homofocale, alors la périodicité ne dépend pas du point initial sur  $E_0$ .

Pour une telle corde, il existe une ellipse unique à laquelle elle est tangente, l'appellons  $E_c$ . C'est assez de démontrer que après la réflexion, la bille va tangenter la même ellipse. On sait que la bissectrice des cordes le long desquelles la bille avance avant et après la réflexion est perpendiculaire à la tangente à  $E_0$  dans le point d'incidence.

**Théorème 3.** *Soit  $F_1, F_2$  les deux foyers des ellipses  $E_0$  et  $E_c$  en commune. Soit  $X \in E_0$ ,  $Y_1, Y_2 \in E_c$ ,  $Y_1 \neq Y_2$  avec  $XY_1$  et  $XY_2$  tangentes à  $E_c$ . Alors la bissectrice de  $Y_1XY_2$  est perpendiculaire à la tangente de  $E_0$  à  $X$ ; la bille arrivant à  $X$  le long de  $Y_1X$  va rebondir à la direction de  $XY_2$ .*

On va utiliser plusieurs fois le fait qu'une tangente à une ellipse est perpendiculaire à la bissectrice des segments qui connectent le point de tangence aux deux foyers.

*Démonstration.* Sachant que la bissectrice d'angle  $F_1XF_2$  est perpendiculaire à la tangente de  $E_0$  à  $X$ , c'est assez à montrer qu'elle coïncide avec la bissectrice d'angle  $Y_1XY_2$ .

Soit  $F_2'$  l'image de  $F_2$  réfléchi par rapport à l'axe  $XY_1$  et  $F_2''$  l'image de  $F_2$  réfléchi par rapport à l'axe  $XY_2$ .  $Y_1 \in \overline{F_1F_2'}$  et  $Y_2 \in \overline{F_1F_2''}$  parce que  $XY_1$  comme tangente est perpendiculaire à la bissectrice de  $F_1Y_1F_2$  et  $XY_2$  est perpendiculaire à la bissectrice de  $F_2Y_2F_1$ . Faites appel à figure 1.

$XF_2' = XF_2''$  et  $F_1F_2' = F_1Y_1 + Y_1F_2 = F_1Y_2 + F_2Y_2 = F_2F_2''$ . Alors on a  $XF_1F_2'\Delta \simeq XF_1F_2''\Delta$ , qui implique

$$F_2'XF_1\angle = F_1XF_2''\angle = \frac{F_2'XF_2''\angle}{2}.$$

Par la réflexion, on a

$$F'_2XY_1\angle = Y_1XF_2\angle = \frac{F'_2XF_2\angle}{2}$$

et aussi

$$F_2XY_2\angle = Y_2XF''_2\angle = \frac{F_2XF''_2\angle}{2}.$$

Et voilà

$$F_2XY_2\angle = \frac{F_2XF''_2\angle}{2} = \frac{F'_2XF''_2\angle - F'_2XF_2\angle}{2} = F'_2XF_1\angle - F'_2XY_1\angle = Y_1XF_1\angle$$

qui implique que la bissectrice de l'angle  $Y_1XY_2\angle$  coïncide avec laquelle de l'angle  $F_1XF_2\angle$ .

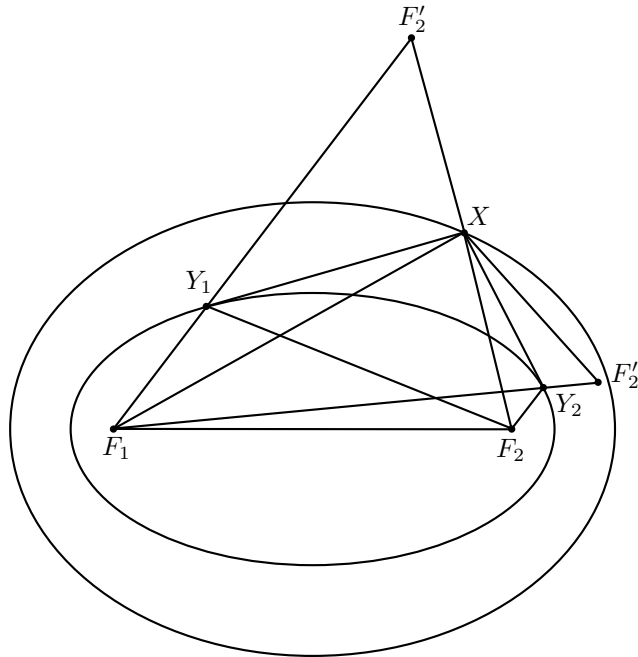


FIGURE 1 –  $E_0$  et  $E_c$  avec deux tangentes et des points auxiliaires pour la démonstration.

□

## 5 Théorème de Poncelet

**Théorème 4.** Soit  $E_0, E_c \in \mathbb{R}^2$  deux ellipses homofocales,  $E_c$  dans  $E_0$ . Choisissons un point  $x_0 \in \mathbb{E}_0$ . Alors il existe deux cordes issues de  $x_0$  qui sont tangentes à  $E_c$ , soit  $x_1$  la limite d'une. Pour tout  $n = 2, 3, \dots$ , il existe un point  $x_n$  unique sur  $E_0$  telle que  $x_{n-1}x_n$  est une corde tangente à  $E_c$  et  $x_n \neq x_{n-2}$ . Soit  $p = \inf\{n \in \mathbb{N}^* : x_n = x_0\}$ . Alors  $p$  ne dépend pas de  $x_0$ .

*Démonstration.* Soient  $a$  le demi-grand axe et  $b$  le demi-petit axe de  $E_0$ . On peut choisir le système de coordonnées telle que les foyers soient  $(\pm\sqrt{a^2 - b^2}, 0)$  :

$$E_0 = \left\{ (x_1, x_2) \in \mathbb{R}^2 : \frac{x_1^2}{a^2} + \frac{x_2^2}{b^2} = 1 \right\}.$$

Ensuite on peut trouver  $0 < c < b$  telle que

$$E_c = \left\{ (y_1, y_2) \in \mathbb{R}^2 : \frac{y_1^2}{a^2 - c^2} + \frac{y_2^2}{b^2 - c^2} = 1 \right\}.$$

Définissons

$$\begin{aligned} E_0^{\mathbb{C}} &= \left\{ (x_1, x_2) \in \mathbb{C}^2 : \frac{x_1^2}{a^2} + \frac{x_2^2}{b^2} = 1 \right\}, \\ E_c^{\mathbb{C}} &= \left\{ (y_1, y_2) \in \mathbb{C}^2 : \frac{y_1^2}{a^2 - c^2} + \frac{y_2^2}{b^2 - c^2} = 1 \right\} \end{aligned}$$

les extensions complexes des ellipses  $E_0$  et  $E_c$ , respectivement. Considérons les fonctions  $\mathbb{CP}^1 \rightarrow E_0^{\mathbb{C}}$  et  $\mathbb{CP}^1 \rightarrow E_c^{\mathbb{C}}$  suivantes :

$$\begin{aligned} x : [s : t] &\mapsto \left( a \cdot \frac{s^2 - t^2}{s^2 + t^2}, b \cdot \frac{2st}{s^2 + t^2} \right) \\ y : [u : v] &\mapsto \left( \sqrt{a^2 - c^2} \cdot \frac{u^2 - v^2}{u^2 + v^2}, \sqrt{b^2 - c^2} \cdot \frac{2uv}{u^2 + v^2} \right) \end{aligned}$$

Ici il n'y a pas d'ambiguïté comme tous les représentants d'un élément dans  $\mathbb{CP}^1$  vont donner le même point dans  $\mathbb{C}^2$ . C'est aussi facile à voir que les images des deux fonctions sont contenues dans  $E_0^{\mathbb{C}}$  et  $E_c^{\mathbb{C}}$ , respectivement.

Fixons  $x = (x_1, x_2) \in E_0^{\mathbb{C}}$  et cherchons ses antécédents.  $x_1 = a \iff t = 0$ . Si  $x_1 = a$ , on a la seule solution  $[s : t] = [1 : 0]$ ; sinon, on peut supposer  $t = 1$ , ensuite  $s^2$  est déterminé par  $x_1$ . Il y a deux possibilités opposés pour  $x_2$  avec  $x_1$  fixé (ou une seule,  $x_2 = 0$ , si  $x_1 = -a$ ) et aussi il y a deux possibilités opposés pour  $s$  (ou une seule si  $s^2 = 0$ ). Ces deux  $s$  déterminent deux  $x_2$  différents, qui coïncident forcément avec ces deux, comme  $x \in E_0^{\mathbb{C}}$ . Alors  $x : \mathbb{CP}^1 \rightarrow E_0^{\mathbb{C}}$  est une application bijective. Le même argument assure que  $y : \mathbb{CP}^1 \rightarrow E_c^{\mathbb{C}}$  est bijective.

De plus,  $s, t \in \mathbb{R} \iff x_1, x_2 \in \mathbb{R}$ , alors les restrictions

$$x : \{[s, t] \in \mathbb{CP}^1 : [s : t] \text{ a un représentant avec } s, t \in \mathbb{R}\} \rightarrow E_0$$

$$y : \{[u, v] \in \mathbb{CP}^1 : [u : v] \text{ a un représentant avec } u, v \in \mathbb{R}\} \rightarrow E_c$$

sont également bijectives.

On va utiliser ces paramétrisations des ellipses dans la suite.

Définissons  $P : E_0 \times E_c \rightarrow \mathbb{R}$  telle que  $\forall x = (x_1, x_2) \in E_0, y = (y_1, y_2) \in E_c$  : la droite sur  $x$  et  $y$  est tangente à  $E_c$  (dans  $y$ ) ssi  $P(x, y) = 0$  :

$$\begin{aligned} P(x, y) &= \frac{y_1}{a^2 - c^2}(y_1 - x_1) + \frac{y_2}{b^2 - c^2}(y_2 - x_2) \\ &= 1 - \frac{x_1 y_1}{a^2 - c^2} - \frac{x_2 y_2}{b^2 - c^2} \end{aligned}$$

obtenu de l'équation de  $E_c$  et ses dérivées partielles.

On étudiera la courbe

$$\Gamma = \{([s : t], [u : v]) \in \mathbb{CP}^1 \times \mathbb{CP}^1 : P(x, y) = 0\}$$

qui consiste aux paires des points projectifs correspondants aux tangentes à  $E_c$ , avec la paramétrisation ci-dessus. La forme de  $P$  utilisant  $s, t, u, v$  est

$$P = 1 - \frac{a}{\sqrt{a^2 - c^2}} \cdot \frac{s^2 - t^2}{s^2 + t^2} \cdot \frac{u^2 - v^2}{u^2 + v^2} - \frac{b}{\sqrt{b^2 - c^2}} \cdot \frac{2st}{s^2 + t^2} \cdot \frac{2uv}{u^2 + v^2}$$

On introduit  $P_1 = (s^2 + t^2)(u^2 + v^2)P$  qui est zéro ssi  $P$  lui-même égale à zéro.

$$P_1 = (s^2 + t^2)(u^2 + v^2) - \frac{a}{\sqrt{a^2 - c^2}}(s^2 - t^2)(u^2 - v^2) - \frac{b}{\sqrt{b^2 - c^2}}4stuv.$$

C'est une fonction lisse, alors la courbe  $\Gamma$  est lisse aussi.

La projection  $\Gamma \rightarrow \mathbb{C}\mathbb{P}^1$ ,  $(x, y) \mapsto x$  est un revêtement à deux feuillets : pour tout  $x$  fixé, il y a deux solutions pour  $y$  sauf quelques points de ramifications. Pour les chercher, écrivons  $P_1$  comme une forme quadratique de  $u$  :

$$P_1 = \underbrace{\left( s^2 + t^2 - \frac{a}{\sqrt{a^2 - c^2}}(s^2 - t^2) \right)}_A u^2 + \underbrace{\left( s^2 + t^2 + \frac{a}{\sqrt{a^2 - c^2}}(s^2 - t^2) \right)}_C v^2 - \underbrace{\frac{b}{\sqrt{b^2 - c^2}} 4st}_{B} uv$$

On va distinguer deux cas selon  $x$  :  $A = 0$  ou  $A \neq 0$ . Dans le premier cas, on a

$$0 = Buv + Cv^2$$

qui a exactement deux solutions  $[u : v] \in \mathbb{C}\mathbb{P}^1 : [1 : 0]$  et  $[\frac{C}{B} : -1]$ .

Remarquons que  $A = 0$  détermine une valeur positive pour la proportion  $\frac{s^2}{t^2}$  parce que  $\frac{a}{\sqrt{a^2 - c^2}} > 1$ . Alors il y a deux points  $x$  pour lesquelles  $A = 0$ , aussi,  $s, t \neq 0$  et  $s, t \in \mathbb{R}$ . De plus, si  $([s : t], [1 : 0]) \in \Gamma$ , donc forcément  $A = 0$ . Nous avons ainsi montré qu'il y a exactement deux points dans  $\Gamma$  avec  $v = 0$ , nous les appellerons  $\alpha_1$  et  $\alpha_2$ . Aussi il y a exactement deux points dans  $\Gamma$  avec  $t = 0$ ,  $\beta_1$  et  $\beta_2$ , qui de plus vérifient  $s, u, v \neq 0$ , parce que  $P_1$  a une forme symétrique sur l'échange de  $x$  et  $y$ . Voir figure 2 concernant la position des  $\alpha$  et  $\beta$  relative à  $E_0$  et  $E_c$ .

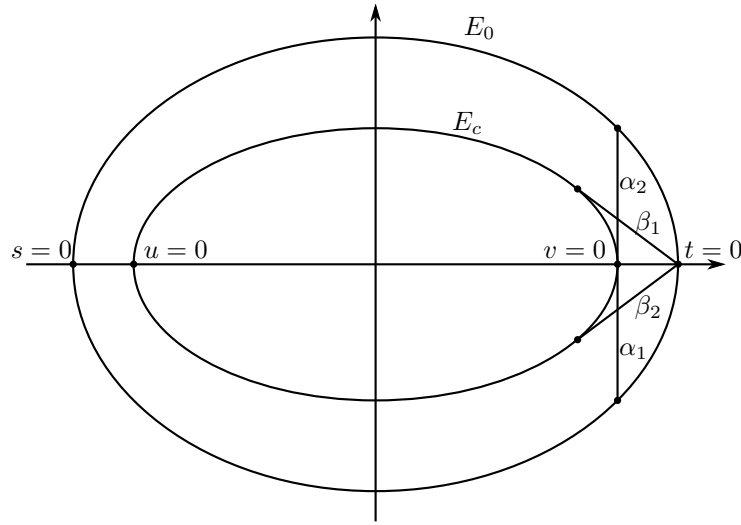


FIGURE 2 – Les ellipses  $E_0$  et  $E_c$  avec les segments qui correspondent aux  $\alpha_1, \alpha_2, \beta_1, \beta_2$ .

Dans le deuxième cas,  $A \neq 0$ , on peut étudier sans perte de généralité le représentant avec  $v = 1$  pour obtenir  $P_1 = Au^2 + Bu + C$ . Considérons le discriminant  $D$  de cette équation :

$$D = B^2 - 4AC = \underbrace{\left( \frac{16c^2}{b^2 - c^2} - \frac{8c^2}{a^2 - c^2} \right)}_{B'} (st)^2 + \underbrace{\frac{4c^2}{a^2 - c^2}}_{A'} (s^4 + t^4)$$

Comme  $b^2 - c^2 < a^2 - c^2$ , on a  $A', B', B' - 2A' > 0$ . Celui implique que  $[s : t] = [0 : 1]$  ou  $[1 : 0]$  ne sont pas des solutions de  $D = 0$ . Aussi, le discriminant  $D' = B'^2 - 4A'^2$  de  $D$  vu comme une forme quadratique de  $s$  est strictement positif, l'équation  $D = 0$  a quatre solutions distinctes dans  $\mathbb{C}\mathbb{P}^1 : [s_1 : t_1], [s_1 : -t_1], [s_2 : t_2], [s_2 : -t_2]$ . Ceux sont exactement les quatre points de ramifications de la projection  $\Gamma \rightarrow \mathbb{C}\mathbb{P}^1, (x, y) \mapsto x$ . A ses quatre points  $x$ , on a  $D = 0$  alors il y a une seule solution possible pour  $y$ , mais pour tous les autres  $x$ , il y en a deux.

Comme le revêtement ramifie en quatre points,  $\Gamma$  doit être une courbe elliptique.

Rappelons qu'on a l'isomorphie topologique

$$E_0 \cong E_c \cong \{[s, t] \in \mathbb{C}\mathbb{P}^1 : [s : t] \text{ a un représentant avec } s, t \in \mathbb{R}\} \cong \mathbb{R}\mathbb{P}^1 \cong S^1,$$

alors on peut représenter  $E_0 \times E_c \cong \mathbb{R}\mathbb{P}^1 \times \mathbb{R}\mathbb{P}^1$  comme un tore. La restriction de  $\Gamma$  sur ce tore sera

$$\Gamma^{\mathbb{R}} := \{(x, y) \in E_0 \times E_c : P(x, y) = 0\}.$$

Remarquons que les points de ramification de  $(x, y) \mapsto x$  ne correspondent pas aux points des  $E_0 \times E_c$ , parce que pour tout  $x \in E_0$  il y a exactement deux  $y$  avec  $P(x, y) = 0$ . Aussi  $\Gamma^{\mathbb{R}} \rightarrow E_c, (x, y) \mapsto y$  est un revêtement à deux feuillets sans ramifications. Figure 3 nous présente  $\Gamma^{\mathbb{R}}$  sur le tore qui correspond à  $E_0 \times E_c$ . Remarquons que  $\Gamma^{\mathbb{R}}$  n'est pas connexe, il y a deux types des  $(x, y) \in E_0 \times E_c$  avec la droite  $xy$  soit tangente à  $E_c$  dans  $y$ ; il y a deux "directions". Les deux types des tangentes, les deux feuillets de  $\Gamma$  sont connecté dans les complexes aux points des ramifications.

Cette image de  $\Gamma^{\mathbb{R}}$  n'est pas essentiel pour cet épreuve, elle ne nous aide qu'imaginer  $\Gamma^{\mathbb{R}}$  et mieux comprendre  $\alpha_i, \beta_i$  et  $f$  dans la suite. N'oublions pas que  $f$  est également définie pour  $\Gamma$  complexe.

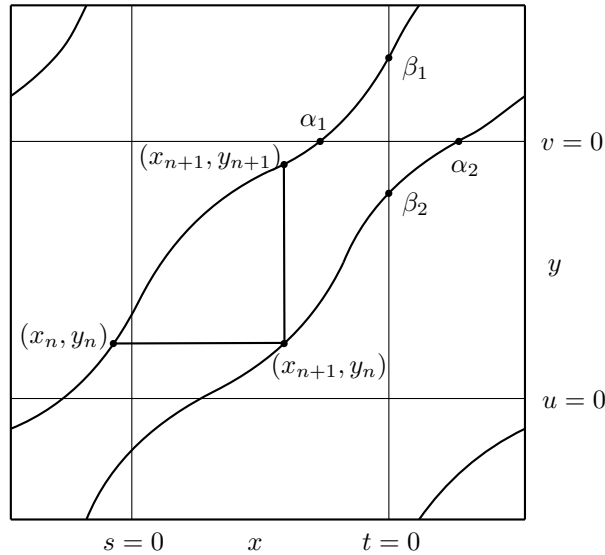


FIGURE 3 –  $\Gamma^{\mathbb{R}}$  dans  $E_0 \times E_c$ .  $\alpha_1$  et  $\beta_1$  sont dessinés sur le même feuillet, conforme à figure 2.

Soit  $x_0, x_1, x_2, \dots$  des points itérés sur  $E_0$  comme décrits ci-dessus. Pour  $n = 0, 1, 2, \dots$ , soit  $y_n$  le points de tangence à  $E_c$  de la droite  $x_n x_{n+1}$ . Alors on a  $(x_n, y_n), (x_{n+1}, y_n) \in \Gamma$ .

Partant de  $x_0, y_0$  détermine la direction initiale. Considérons  $(x_0, y_0)$  comme notre état initial. Pour obtenir  $x_1$ , ou plutôt  $(x_1, y_1)$ , il faut trouver d'abord  $x \neq x_0$  telle que  $(x, y_0) \in \Gamma$ , soit  $x_1$ . Après  $y \neq y_0$  telle que  $(x_1, y) \in \Gamma$ , celui sera  $y_1$ . C'est clair que  $x_p = x_0$  ssi  $(x_p, y_p) = (x_0, y_0)$ . On étudiera le comportement d'itération sur  $\Gamma$  partant de  $(x_0, y_0)$  au lieu d'étudier celui sur  $E_0$  partant de  $x_0$ .

Fixons  $n \in \mathbb{N}$ . Considérons la fonction méromorphe  $f : \Gamma \rightarrow \mathbb{C}$ ,

$$f(x, y) = f([s : t], [u : v]) := \frac{\frac{s_{n+1}}{t_{n+1}} - \frac{s}{t}}{\frac{u_n}{v_n} - \frac{u}{v}}$$

où  $[s_{n+1} : t_{n+1}] = x_{n+1}$ ,  $[u_n : v_n] = y_n$ . C'est clair que  $f$  est une fonction des points projectifs, son valeur ne dépend pas sur les représentants  $s, t$  ou  $u, v$  des points  $x$  et  $y$ .

Regardant figure 3 on peut penser à  $f$  comme la pente de la segment qui connecte  $(x_{n+1}, y_n)$  à  $(x, y)$ .  $(x_n, y_n)$  est un zéro de  $f$  et  $(x_{n+1}, y_{n+1})$  est un pôle de  $f$ .

Les points de  $\Gamma$  avec  $v = 0$  sont des zéros aussi, et les points avec  $t = 0$  sont des pôles. Il y a exactement deux points de chaque cas :  $\alpha_1, \alpha_2$  et  $\beta_1, \beta_2$  respectivement.

Par contre,  $(x_{n+1}, y_n)$  est ni zéro, ni pôle, comme  $\Gamma^{\mathbb{R}}$  à ce point est ni horizontal, ni vertical. Sauf si  $t_{n+1} = 0$  ou  $v_n = 0$ , quand  $(x_1, y_0)$  coïncide avec un  $\beta$  ou  $\alpha$ , mais il n'ajoute pas à son multiplicité.

Alors  $f$  a trois zéros :  $(x_n, y_n)$ ,  $\alpha_1, \alpha_2$  et trois pôles :  $(x_{n+1}, y_{n+1})$ ,  $\beta_1$  et  $\beta_2$ .

On utilise l'isomorphisme entre des courbes elliptiques et des tores : pour  $\Gamma$  donné, il existe un réseau  $\Lambda$  telle que

$$\Gamma \cong \mathbb{C}/\Lambda.$$

Alors on peut considérer  $(x_n, y_n)$ ,  $\alpha_1, \alpha_2$ ,  $(x_{n+1}, y_{n+1})$ ,  $\beta_1, \beta_2$  comme des points sur ce réseau, et la fonction  $f$  comme une fonction méromorphe  $\mathbb{C}/\Lambda \rightarrow \mathbb{C}$ .

Le théorème d'Abel sur les positions des zéros et des pôles dit que

$$\begin{aligned} (x_n, y_n) + \alpha_1 + \alpha_2 &\equiv (x_{n+1}, y_{n+1}) + \beta_1 + \beta_2 \pmod{\Lambda} \\ (x_{n+1}, y_{n+1}) - (x_n, y_n) &\equiv \underbrace{\alpha_1 + \alpha_2 - \beta_1 - \beta_2}_{\Xi} \pmod{\Lambda} \end{aligned}$$

Notons que  $a, b, c$  déterminent  $\Gamma, \Lambda$  et  $\Xi$ , indépendamment de  $x_0, y_0$ . Alors l'itération sur le tore peut être représenté par une translation par  $\Xi$ . Donc

$$p = \inf\{n \in \mathbb{N}^* : n \cdot \Xi \in \Lambda\}$$

qui est bien indépendante de notre choix de l'état initial. Notons que  $p = \infty \iff \Xi \notin \mathbb{Q}\Lambda$  qui correspond au cas non-périodique. □

## 6 Conclusion

En fait, il y a alors trois sortes de trajectoire d'une bille dans une ellipse :

- Si une corde n'intersecte pas le segment qui connecte les deux foyers, la trajectoire ne l'intersectera jamais. Toutes les cordes seront tangentes à la même ellipse homofocale. La trajectoire peut être périodique ou non, et la période est déterminée par les deux ellipses, elle est la même pour toutes les trajectoires.
- Si une corde contient un foyer, les cordes de la trajectoire traverseront alternativement les deux foyers. C'est une propriété fondamentale des ellipses. On n'a pas étudié la périodicité dans ce cas.

- Si une corde intersecte le segment qui connecte les deux foyers, toutes les cordes l'intersecteront. C'est une conséquence d'inversibilité de la trajectoire et la première propriété. En fait, on peut montrer que toute corde sera tangente à une hyperbole homofocale, et le théorème de Poncelet restera vrai : la période est déterminée par les deux coniques.

## Références

- [1] Cours de Dominique Cerveau
- [2] P. Griffiths, J. Harris : On Cayley's explicit solution to Poncelet's porism. *Enseign. Math.* (2) 24 (1978), no. 1-2, pp. 31-40.